

太陽フレアで発生するガンマ線と中性子

吉 森 正 人*

1. はじめに

太陽フレアは、黒点磁場に蓄積されたエネルギーが、短時間のうちに爆発的に解放される大規模な表面現象である。フレア時には磁気エネルギーの転化により、プラズマ粒子の加速や加熱がおこり、電磁放射や粒子放出といった高エネルギー現象が、太陽表面を舞台にして大々的に展開される。非熱的に加速された高エネルギー電子は、よく知られているようにシンクロトロン放射によりマイクロ波電波を、また制動放射によりX線をつくる。一方、高エネルギー陽子をはじめとするイオンは、原子核反応をおこしてガンマ線や中性子をつくる。加速された粒子は、太陽表面で種々の相互作用をおこして、二次的生成物をつくり出すだけなく、さらにその一部は、直接に惑星間空間へ放出される。これら太陽表面でつくれられた二次的生成物ならびに惑星間空間へ放出された高エネルギー粒子の観測を通して、フレア時における粒子加速のメカニズムや太陽大気中における相互作用を解明するための手掛りを得ることができる。特にガンマ線や中性子の研究は、イオンがどのようにして、どのようなタイム・スケールでそしてどこまで加速されたかを明らかにするための決め手を与えてくれる。

フレア粒子は、加速された太陽物質そのものであることから、そのエネルギー・スペクトルや化学組成の観測は、粒子加速に関する貴重なデータを提供するが、コロナや惑星間空間を伝播する間に複雑な変調をうけるために、加速過程における時間情報がわかりにくくなってしまうという欠点がある。一方、ガンマ線や中性子は、加速されたイオンの二次的生成物ではあるが、電気的に中性であるためにフレア粒子のような伝播の影響をうけることがなく、粒子加速における時間情報をより正確に反映するという長所がある。

太陽フレアにともなって高エネルギー粒子が発生し、それらが地球にまでやってくることは、すでに 1940 年代に確認されていた。このような高エネルギー粒子が、太陽表面の原子核と衝突し核反応をおこせば、ガンマ線や中性子がつくられるであろうことは、十分に予想されることであった。1950 年代に入りビアンランは、フレアの中性子発生の可能性を指摘し、またモリソンは、生成されるガンマ線の強度を推定した。さらにその

後いくつかの計算がなされたが、ガンマ線および中性子生成について詳細な計算を展開したのは、リングンフェルターとラマティであった。彼らの計算によれば大フレアではガンマ線や中性子が大量につくられ、地球においても十分に検出できる可能性があることが指摘された。これらの計算結果に触発され、1960 年代末の太陽活動極大期には、日本をはじめアメリカやインドで太陽ガンマ線や中性子の気球観測がはじまり、パイオニア的な研究がなされた。特にガンマ線の観測に関しては、チャップラが OSO-7 にのせたガンマ線検出器により、1972 年 8 月の巨大フレアからのラインガンマ線をはじめてはっきりと検出し、計算結果との比較検討がなされた。しかし中性子に関しては、強度が小さくまた検出方法のむずかしさもあり、上限値が与えられただけであった。その後太陽活動は、極小期へ向ったためにフレアの観測は、1980 年代はじめの次期極大期まで待たねばならなかつた。

1980 年代はじめの太陽活動極大期には、前極大期の成果をふまえ、フレアからの X 線およびガンマ線を本格的に観測する衛星が、アメリカと日本でそれぞれ打ち上げられた。アメリカは、1980 年 2 月に SMM (Solar Maximum Mission) を、また日本は 1 年後の 1981 年 2 月にひのとりを打ち上げた。これら 2 つの太陽フレア専門衛星の観測により、フレアで発生した X 線の二次元像がはじめて得られ、またラインガンマ線が検出されたフレアも數 10 例にのぼり、さらに中性子がとらえられたフレアも少數例ではあるが見つかった。これらの観測の結果、フレアにおける粒子加速、ガンマ線および中性子の生成過程そしてガンマ線とフレア粒子との関係などが、種々の観点から広く議論され、フレア時におこる高エネルギー現象の解明は一段と進展した。

2. ガンマ線観測の現状

1980 年代はじめの太陽活動極大期には、衛星にのせた高性能の観測装置によって多数のフレアから豊富なガンマ線データが得られ、これまでの観測結果を追認しただけでなく、予想をこえるような新しい結果も見つかり、研究は急速に進んだといえよう。またいくつかのフレアではガンマ線だけでなく、X 線、マイクロ波電波さらにはフレア粒子のデータも同時に得られ、それらの関連性も調べられるようになった。このようにしてフレア現象を広範囲にまた総合的に解明できるようになったこ

* 立教大理 Masato Yoshimori: Gamma-Ray and Neutron Production in Solar Flares

とも大きな特徴である。以下にいくつかの興味ある問題点についてまとめてみる。

2.1 X線およびガンマ線放射のタイムプロフィル

フレアで放射されたX線やガンマ線放射のタイムプロフィルは、それらをつくる親の電子およびイオンの加速時間に関する情報を与えるものと考えられる。X線は電子の制動放射でつくられることから、X線のタイムプロフィルからフレア領域で電子がどのようなタイムスケールで加速されたかを推定することができる。一方、4~7 MeV のガンマ線は、主として ^{12}C および ^{16}O の励起状態から放出される 4.44 および 6.14 MeV のラインガンマ線の寄与が大きいことから、イオンが 10~100 MeV

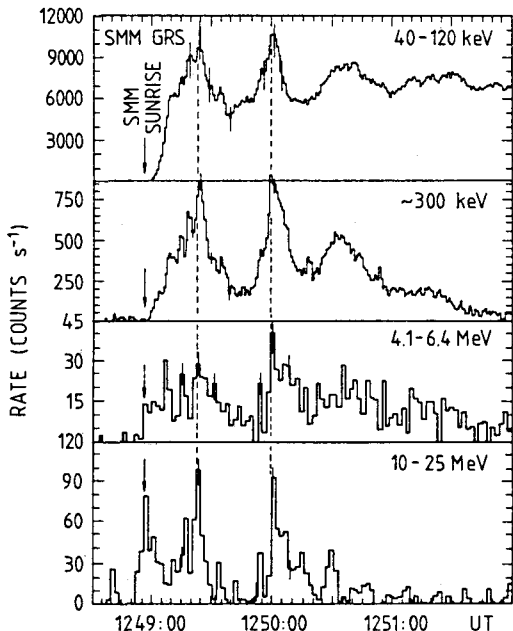


図 1 1982年2月8日のインパルシブ型フレア (Kane et al., Astrophys. J. 300 (1986) L95.)

までどのようなタイムスケールで加速されたかを推定することができる。さらに 10 MeV 以上のガンマ線は、高エネルギー電子の制動放射や数 100 MeV 以上のイオンによって生成された中性パイ中間子の崩壊からつくられるもので、そのタイムプロフィルからフレアで最も高いエネルギーにまで加速された粒子のふるまいを知ることができる。

観測されたいくつかのフレアについてX線およびガンマ線のタイムプロフィルを調べてみると、フレアによって両者のタイムプロフィルに違いがあることが明らかになった。すなわち、継続時間が短くスパイク状の激しい強度変化を示すインパルシブ型フレアでは、100 keV 領域のX線と 4~7 MeV のラインガンマ線のタイムプロフィルを比較すると、ほぼ同時にピークに達しており、時間的におくれが少いのに対して、継続時間が長くゆっくりとした強度変化を示すグラジュアル型フレアでは、ガンマ線のピークがX線ピークよりも明らかにおくれる傾向があることが分ってきたのである。代表的なインパルシブ型フレアとグラジュアル型フレアにおけるX線およびガンマ線のタイムプロフィルの観測結果を図1および図2に示す。これは、インパルシブ型フレアでは電子とイオンがほぼ同時にそれぞれ 100 keV および数 10 MeV にまで加速されるのに対し、グラジュアル型フレアでは電子にくらべてイオンがゆっくりと加速されていることを示唆している。

それではどうしてフレアのタイプによってタイムプロフィルの違いが生じるのであろうか。それを解く鍵の1つは、フレアのタイプが H_{α} 重要度 (6563 Å の水素原子のバルマー線で見たフレア領域の大きさを表わす指標) と深い関わりが見られることである。すなわち、これまでの大きなフレアを統計的に調べてみると、インパルシブ型フレアは、 H_{α} 重要度が小さいものに多く集中しているのに対し、グラジュアル型フレアは、大きな

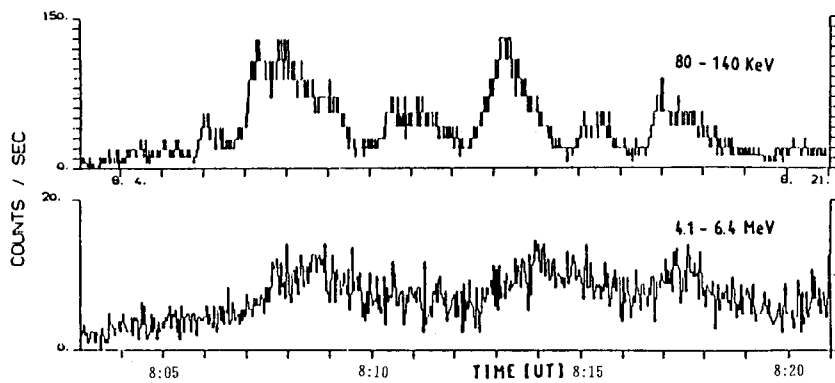


図 2 1981年4月27日のグラジュアル型フレア (Rieger., Proc. of Hinotori Symposium on Solar Flares, ISAS, 1982, p. 246.)

H_{α} 重要度をもつものが多いという傾向がみられる。またそれぞれのフレアについてX線像を調べてみると、インパルシブ型のものは、太陽大気中の低い場所がコンパクトに光っているのに対し、グラジュアル型のものは、コロナと思われる高い場所が、大きく広がって光っているものが多い。

フレアのタイプによるタイムプロフィルの違いを粒子加速の立場から説明するために1次フェルミ加速が提唱されている。この加速は、フレア発生時に電子の降下により磁気ループの両端が急速に加熱されて衝撃波が発生し、ループ内を上昇していくときにおこる。このループ内に捕捉された粒子は、磁気ボトルにとじこめられたようにループ両端から上昇してくる衝撃波と正面衝突し、反射されるたびにエネルギーを獲得し、加速されていくという統計加速である。もし磁気ループ内の粒子のピッチ角分布や衝撃波の速さが、フレアによって大きく変わらないと仮定すれば、加速効率は、単位時間あたりの衝撃波と粒子との衝突回数によって決まる。単位時間あたりの衝突回数は、磁気ループの長さに反比例するので、長いループをもつフレアほど加速効率が低くなり、粒子加速に時間がかかる。磁気ループの長さとフレア面積との関係は単純ではないと思われるが、面積の大きなフレアほど磁気ループが長くなると考えるのは、それほど不自然な仮定ではないであろう。もしそうだとすれば、 H_{α} 重要度の小さなフレア、すなわち、インパルシブ型フレアの方が粒子加速の効率が高くなり、X線を出す電子と核ガムマ線ラインを出すイオンとが、ほとんど同時に加速されるが、反対に H_{α} 重要度の大きいグラジュアル型フレアでは、X線を放射する電子よりも核ガムマ線ラインをつくるイオンの方が、加速に時間がかかることになり、定性的には観測結果を説明できそうである。

またフレアのタイプによるX線像の違いから、加速粒子のふるまいについて次のような描像が考えられる。インパルシブ型フレアでは、小さな磁気ループ内で効率よく短時間で加速された粒子が、高密度のループ根元に降下し、X線やガムマ線を一気に放射するのに対し、グラジュアル型フレアでは、粒子は大きなループ内で長時間加速をうけながら捕捉されており、電子は密度の低いコロナの広い領域でX線を出しているものと思われる。一方、イオンについてはガムマ線像が得られていないためにそのふるまいは明らかでないが、フレア粒子とガムマ線の観測結果から推測すると、加速されたイオンの一部は、ループの根本に降下して核ガムマ線ラインをつくるが、大部分のイオンは惑星間空間へ放出されるものと考えられる。

ここでのべたようにいくつかのフレアでは1次フェルミ加速が有効にはたらいているものと考えられるが、き

わめて大きなフレアでは数秒以内で電子が数10 MeV以上に、またイオンが1 GeV以上にまで加速されると考えられ、統計加速のようなゆっくりとした加速ではなくても説明できそうにない。このような観測結果を説明するために、衝撃波面に生じた大きな静電場による加速、電流ループの合体により磁気中性点に生じた磁力線再結合にともなう加速そして大振幅磁気音波による加速などきわめて効率のよい粒子加速の理論が提唱されている。いずれにしてもフレアには多種多様なものがあり、單一のモデルですべてのフレアにおける粒子加速を説明することはむずかしそうに思われる。

2.2 X線とガムマ線放射の相關

フレアにおいて電子とイオンとは、加速のタイミングに違いはあるかもしれないが、ほぼ同じように加速されていることは、X線とガムマ線放射のタイムプロフィルから予想されることである。この事実をさらに裏付ける観測データは、X線と核ガムマ線ラインの放射強度が、よい相関を示すことである。SMMとひのとり両衛星で観測された21例のフレアについて、40~80 keVのX線フルエンス（時間積分した強度）と4~7 MeVのガムマ線フルエンスとの相関を調べた結果を図3に示す。この結果は、両者の間にはよい相関があることを示しており、ラインガムマ線が発生するフレアは、特別のタイプのフレアではなく、観測装置を大型化して検出感度を向上させれば、小さなフレアからでもガムマ線ラインが検出できる可能性が高いことを示唆している。同じような相関が、270 keV以上のX線と4~7 MeVのガムマ線について調べられたが、両者にはよい相関があることが分った。これらの結果からフレア研究においてガムマ線は、X線とともに基本的な観測量になりうるものであると考えられる。

2.3 ガムマ線スペクトル

X線からガムマ線領域にかけてのエネルギースペクトルは、電子の制動放射による連続成分、種々の核反応に

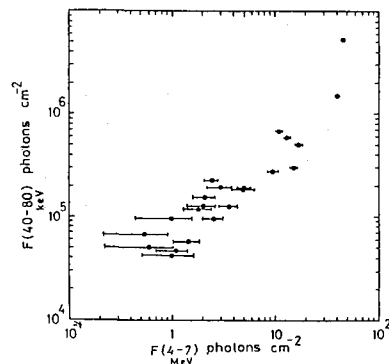


図3 X線(40~80 keV) フルエンスとガムマ線(4~7 MeV) フルエンスとの相関

よりガンマ線ラインそして高エネルギー核反応でつくられる中性パイ中間子の崩壊ガンマ線からなる。電子の制動放射は、親の電子のエネルギーまでのびる連続スペクトルをつくるので、連続スペクトルがどこまで伸びているかにより、電子が最大どこまで加速されたかを推定することができる。また MeV 領域にはイオンによってつくられるラインスペクトルがあり、これらのガンマ線ラインが観測されれば、イオンが 10~100 MeV まで加速されたことを意味する。ガムマ線フレアとよばれるもののスペクトルは、一般に制動放射による連続成分の上にライン成分が重ね合わさったものになる。一例として 1981 年 4 月 27 日のフレアで観測されたガムマ線のエネルギースペクトルを図 4 に示す。制動放射による連続スペクトルの上に陽電子消滅による 0.51 MeV ラインおよび ^{56}Fe , ^{24}Mg , ^{20}Ne , ^{28}Si , ^{12}C および ^{16}O からの核ガムマ線ラインが見られる。多くのガムマ線スペクトルは、図 4 のように 7 MeV 付近で急激な減少を示す。これは、発生する核ガムマ線の中では ^{16}O からの 6.14 MeV ラインが最大エネルギーであり、それ以上のエネルギーをもつラインがないためと電子の制動放射による連続スペクトルが 7 MeV 以上にまで伸びていないためである。図 4 では中性子が陽子に捕獲されてくつられる 2.22 MeV ラインは顕著に見られないが、これはこのフレアが太陽面の縁で発生したために、太陽大気によって吸収されたためであり、太陽面の縁からはなれたところで発生したフレアでは、2.22 MeV ラインがはっきりと見える。

観測されたガムマ線ライン強度から、ガムマ線が発生したと考えられる彩層の大気組成を推定することができ

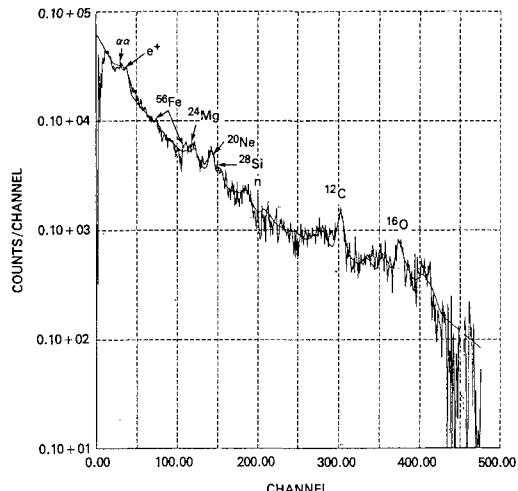


図 4 1981 年 4 月 27 日のフレアで観測されたエネルギースペクトル (Forrest. Positron and Electron Pairs in Astrophysics, AIP Conf. Proceedings, No. 101, 1983, p. 3.)

る。この推定された結果を他の方法で求められている光球やコロナの組成と比較すると、彩層では光球にくらべ C と O とが 30% 程度しかなく、またコロナの値とくらべると O と Mg とが 50% 程度しかないことが分る。ガムマ線ラインの観測から彩層の大気組成が推定されているフレアは少數であるために、結論は出せないが、コロナと光球とでいくつかの元素について存在比の違いが報告されていることから、彩層の組成も光球やコロナの値と異ってくることは考えられることである。

10 MeV 以上の高エネルギーガムマ線が発生したフレアは、これまでに 10 例程度しか観測されていないが、特大のフレアからは数 10 MeV 以上までガムマ線の発生が認められている。このような高エネルギーガムマ線は、数 10 MeV 以上に加速された電子の制動放射でつくられる以外に数 100 MeV 以上に加速された陽子と太陽大気中の水素との衝突でつくられる中性パイ中間子の崩壊 (平均寿命 8×10^{-17} 秒) によってもつくられる。この崩壊過程では 2 つのガムマ線がつくられるが、そのエネルギースペクトルは、70 MeV になだらかなピークを示す (中性パイ中間子の静止質量は 140 MeV なので、70 MeV のガムマ線が 2 つできる)。高エネルギー核反応では中性パイ中間子に加えて正電荷および負電荷のパイ中間子がつくられる。正負のパイ中間子はそれぞれミューー中間子に崩壊し、さらに陽電子と電子に崩壊する。このように二次的につくられた陽電子と電子も制動放射により連続スペクトルをつくる。また特に陽電子は、制

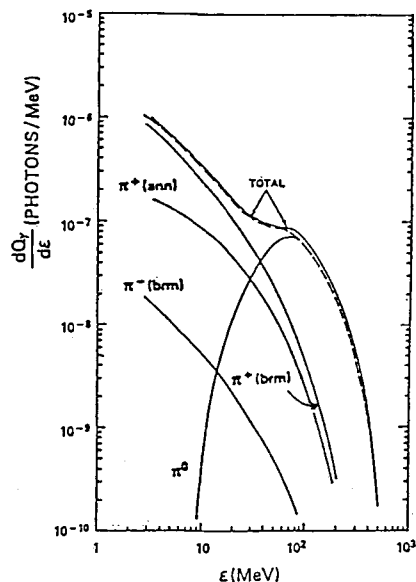


図 5 高エネルギー陽子の核反応でつくられるパイ中間子の崩壊から生成される高エネルギーガムマ線スペクトルの計算結果 (Murphy et al., Astrophys. J. Suppl. 63 (1987) 721.)

動放射以外に走りながら電子と合体して消滅するため、制動放射に加えて消滅による連続スペクトル（走行中に陽電子が消滅する場合は、0.51 MeV のラインにならない）をつくる。図 5 に 3 種類のパイ中間子からつくれられるガムマ線スペクトルの計算結果を示す。さらにフレアで数 10 MeV 以上に加速された電子があれば、制動放射をおこして連続スペクトルをつくるので、図 5 に示されたパイ中間子によるスペクトルと重ね合わさったものが観測される。フレアのスペクトル中に 70 MeV 付近にもり上がりが観測されたならば、パイ中間子がつくられたことを意味しており、陽子が数 100 MeV 以上に加速された証拠となる。これまでにパイ中間子による 70 MeV のもり上がりが、報告されたフレアは、1982 年 6 月 3 日の超大フレアだけである。

2.4 核ガムマ線とフレア陽子

フレアで核ガムマ線ラインが検出されたことは、陽子をはじめとするイオンが 10~100 MeV に加速されたことを物語っているが、このような核ガムマ線が観測されたフレアではいつもフレアでつくられた陽子が地球近傍までやってきているかどうかは、加速された陽子の放出ならびに伝播のメカニズムを明らかにする上で貴重な情報を与える。核ガムマ線をつくった陽子も惑星間空間へ放出される陽子とともに同じフレアで加速されたものではあるが、前者は、加速域から高密度の彩層に降下したものであるのに対し、後者は、コロナを通って惑星間空間

へ逃げ出していったものである。核ガムマ線を多く含む 4~7 MeV のガムマ線フルエンスと地球近傍で観測された 10 MeV 付近の陽子強度との関係を、多くのフレアについてプロットした結果を図 6 に示す。図 6 にプロットされたフレアは、すべて太陽面上の西側で発生したもので、フレア発生場所と地球との磁力線で結ばれており、惑星間空間をフレア粒子が伝播するのによい条件をもつと考えられるものである。しかしながら図 6 の結果は、フレア粒子の伝播条件がよいにもかかわらず、核ガムマ線とフレア陽子との間にはっきりとした相関は見られない。すなわち、核ガムマ線をつくった陽子と惑星間空間へ逃げ出した陽子とは、必ずしも同じ加速をうけた同一グループの粒子であるとは限らないことを示唆している。

このような観測結果を説明するために、核ガムマ線をつくった陽子と惑星間空間へ逃げ出す陽子とは、加速される場所が異っているのではないかとの指摘もなされている。すなわち、前者は、磁気ループ内で捕捉されながら加速され、大部分が彩層に降下するのに対し、後者は、惑星間空間へのびている磁力線上で衝撃波によって加速され、大部分のものが惑星間空間へ逃げ出すという考え方である。しかしフレア領域における磁場構造は、複雑なため、同一場所で加速されても伝播条件の違いで図 6 のような結果が生じるという考え方もある。加速された粒子の伝播の問題は、最も分りにくい問題の 1 つであり、まだ明らかにされていないのが現状である。

3. 中性子観測の現状

加速された粒子のエネルギーがおよそ 100 MeV になると、主として陽子とヘリウムとの核反応により中性子がつくられるようになる。したがって中性子の生成は、フレアで核ガムマ線をつくった陽子よりもさらにエネルギーの高い陽子が発生したことを意味するので、パイ中間子の生成とともに最も高いエネルギーに加速された粒子に関する手掛りを与えてくれる。

中性子は、核ガムマ線と同じように彩層中でつくられるが、生成後に中性子のおこす過程は、ガムマ線にくらべ複雑である。惑星間空間へ逃げ出す中性子、光球内で熱化し、最後には水素に捕獲され 2.22 MeV のラインガムマ線を出す中性子さらには ^3He に吸収される中性子がある。また中性子は、不安定な粒子で半減期 900 秒で陽子にベータ崩壊するため、惑星間空間へ逃げ出した中性子の一部は、途中で陽子に変身してしまう。中性子が崩壊する割合は、低エネルギーのものほど大きくなり、例えば 100 MeV の中性子で、崩壊しないで地球に到達できるのは、わずかに 30% しかない。

これまで中性子の発生は、2.22 MeV ラインの検出か

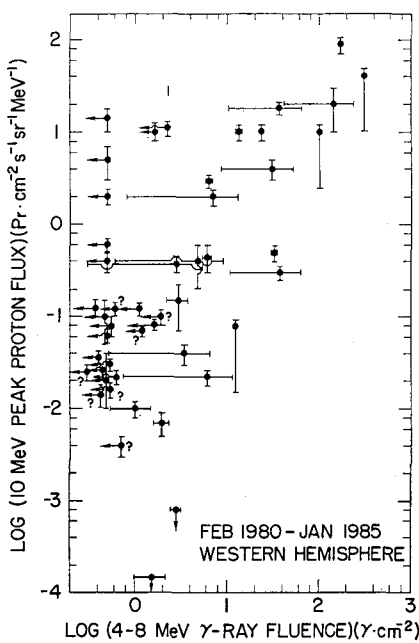


図 6 4~8 MeV ガムマ線フルエンスと 10 MeV の陽子フラックスとの関係。両者の間には明らかな相関がみられない (Cliver et al., 20th Int. Cosmic Ray Conf., 10 (1987) 342.)。

ら間接的には知られていたが、より直接的な観測はなかなか実現できなかった。しかし1980年代はじめの前太陽極大期において中性子を直接とらえたと思われるフレアが3例報告された。これらは、SMM、地上中性子モニターおよびISEE-3のいずれか2つ以上によって、中性子と思われる計数値の増加が、ガンマ線とほぼ同期して認められた。SMMでは300 MeV以下の中性子、地上中性子計では300 MeV以上の中性子そしてISEE-3では130 MeV以下の中性子崩壊からの陽子が検出された。なかでも1982年6月3日のフレアでは、これら3つのデータがすべて得られており、中性子イベントにまちがいないものと考えられている。図7にはこのフレアに対してSMMで観測された4~6 MeVの核ガンマ線および25 MeV以上の高エネルギーガンマ線および中性

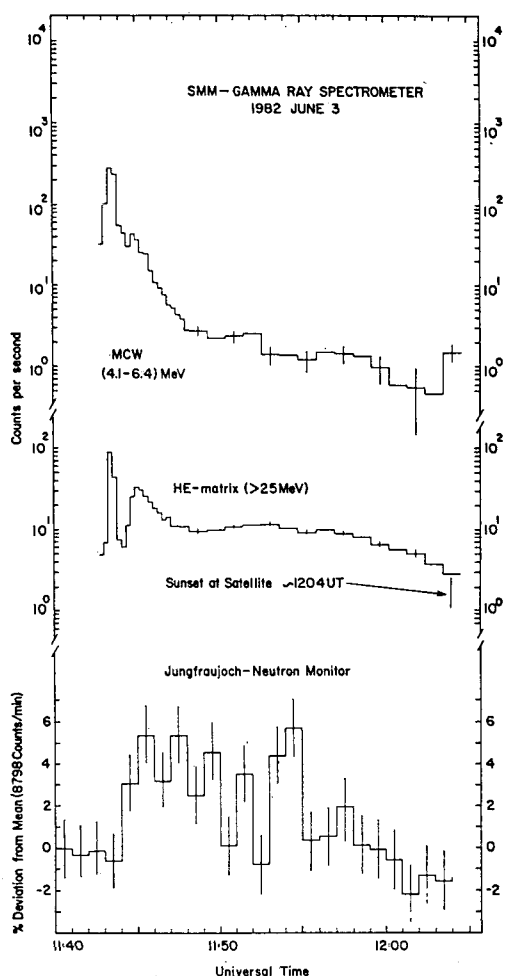


図7 1982年6月3日のフレアで観測されたガンマ線(4.1~6.4 MeV), 25 MeV以上のガンマ線+中性子およびユングフラウヨッホの中性子モニターのカウント数の時間変化 (Chupp et al., *Astrophys. J.* 318 (1987) 913.)。

子のタイムプロファイルさらにユングフラウヨッホ(3550 m)の中性子モニターのタイムプロファイルを示す。この結果から粒子加速に関して興味ある推測ができる。最も特徴的なタイムプロファイルは、25 MeV以上のガンマ線+中性子の結果である。フレアのはじまりではスパイク状に増加するが、いったん放射がなくなり、次いでだらかな増加を示す。前者を第1ピーク、後者を第2ピークとよぶと、4~6 MeV ガンマ線は、第1ピークでは顕著な増加を示すが、第2ピークでは小さな増加しか見られない。4~6 MeV のガンマ線スペクトルから加速された陽子のスペクトルを推定すると、第1ピークでは統計加速から予想されるスペクトルが得られ、第2ピークでは衝撃波加速から予想されるスペクトルが得られる。すなわち、2つの時間帯でそれぞれ異った粒子加速のメカニズムが存在したことになる。両者を比較すると、第2ピークにおける陽子のスペクトルは、第1ピークのスペクトルよりもハードになっている。またこのフレアで放出された高エネルギー陽子のスペクトルが、惑星間空間で観測されているが、第2ピークにおける陽子のスペクトルとほぼ一致する。この結果から第1ピークの時間帯では、統計的に加速された陽子の大部分は、彩層に降下したガンマ線や中性子をつくり、第2ピークの時間帯では衝撃波によって加速された陽子の大部分が惑星間空間へ逃げ出し、残りの一部分が彩層でガンマ線や中性子を発生させたと考えられる。さらにユングフラウヨッホの中性子モニターで検出された300 MeV以上の高エネルギー中性子のタイムプロファイルをみると、ガンマ線発生後わずか1分程度で地球に到達していることから、フレア発生時にきわめて効率のよい加速がおこり、一部の陽子はGeVにまで加速されたと推定される。そしてその後、10分以上にわたって高エネルギー中性子が検出されていることから、陽子の加速は、フレアのはじめから継続的におこなわれていたものと考えられる。また太陽面で発生した中性子のエネルギースペクトルを、SMM、中性子モニターそしてISEE-3の観測結果から推定すると、 $E^{-2.4}$ のベキ型で近似され、1 GeV以上にまで伸びていることがわかる。

4. 次期太陽活動極限大期へむけて

1980年代はじめの前太陽極大期にはガンマ線観測が著しく進展し、また中性子の検出もはじめておこなわれ、フレアにおける高エネルギー粒子の加速や太陽大気中での核反応のようですが、明らかにされてきた。1990年代はじめの次期太陽極大期には、さらに高性能の観測装置による太陽フレアの研究が計画されている。

日本においては SOLAR-A により軟X線および硬X線像の精密観測とならんで、X線からガンマ線までの広

帯域スペクトルの観測が計画されている。ガンマ線スペクトル計による核ガンマ線と連続ガンマ線との分離や10 MeV以上の高エネルギーガンマ線スペクトルの精密観測などがなされる。また中性子観測では乗鞍岳(2750m)の中性子モニターを増設し、検出感度の向上をはかる準備が進められている。また高エネルギーフレア粒子の化学組成や同位元素の観測も GEOTAIL と ETS-6 とによりなされ、電磁放射と粒子の両面から総合的にフレアの研究が行なわれる予定である。

一方、外国においてもいくつかの計画が進められている。アメリカでは Max '91 計画で気球を長時間とばしてフレアをとらえる計画である。エネルギー分解能のよい Ge スペクトル計により、ガンマ線ラインを精密測定したり、1 MeV 以下でガンマ線イメージを観測するために大型の観測装置を気球にのせる予定である。さらに銀河ガンマ線バースト観測を目的とした大型衛星 Gamma-Ray Observatory の一部の機器を太陽観測にふりむ

けることも考えている。フランスではソ連と協同で銀河ガンマ線バースト観測の衛星を打ち上げ、その一部の機器により太陽ガンマ線スペクトルの観測を計画している。また中性子観測に関しても世界各地で地上中性子モニターを充実し、観測網を整備する準備が進められている。

次期太陽極大期は、予想以上に早いペースで太陽活動度が高くなっており、特大フレアの発生も大いに期待できそうである。衛星や気球による観測と地上施設による観測とが協力し、さらに国際的なネットワーク体制により太陽フレア研究が進められ、実り多い次期太陽極大期にしたいものである。

本稿を書くにあたって下記論文を参考にした。

- (1) E. L. Chupp: Ann. Rev. Astron. Astrophys., 22 (1984), 359.
- (2) R. Ramaty and R. J. Murphy: Space Sci. Rev., 45 (1987), 213.
- (3) M. Yoshimori: Space Sci. Rev. (1989) 印刷中。

天体観測専門誌

天文ガイド

7月号 定価460円(税込み) 〒91 6月5日発売

特集 夏の星雲・星団の探し方見方

広角シュミットによる写真を星団代わりに、双眼鏡、望遠鏡で見る、夏の夜の美しい星空を探訪。

ヘル天文台・口径5m大望遠鏡

各種百科辞典や天体写真集の星雲・星団の写真のほとんどを提供する望遠鏡をカラーページで紹介。

ニューフェイステストレポート

アメリカのパークス社製口径25cm反射赤道儀はしっかりした作りで価格が安いのですが…性能は?

- 7月のスターウォッチング
- 7月の観測資料
- 観測ガイド
- 情報ボックス…など情報満載

誠文堂新光社

東京都千代田区神田錦町1-5
電03(292)1221 振替東京7-128

天文／グラフィティ

●2冊・好評発売中 ●古田俊正著

銀河

31cm反射望遠鏡で写した銀河の写真集。見て楽しく、自分の撮影のガイドとして、また超新星の搜索にも役に立つ。

●3000円(税別) 〒260

銀
河

銀河系の 星雲・星団

同じく31cm反射による星雲・星団の写真による小字典。
●2200円(税別) 〒260

銀河系の
星雲・星団